•指南与共识•

皮肤镜诊断规范用语及硬件参数 专家共识(2017)

中国医师协会皮肤科医师分会 中国医疗保健国际交流促进会皮肤科分会 中国 中西医结合学会皮肤性病专业委员会 中国医学装备协会皮肤病与皮肤美容分会

通信作者:李航, Email: drlihang@126.com DOI: 10.3760/cma.j.issn.0412-4030.2017.07.002

皮肤镜应用日益普及,但皮肤镜诊断术语多由 国外教材、文献引进,翻译的多样化有时会阻碍甚 至误导读者正确应用皮肤镜技术。同时,皮肤镜产 品的多样化也带来选择困难。为了促进皮肤镜临 床应用,围绕皮肤镜诊断规范用语及硬件参数,中 国医师协会皮肤科医师分会、中国医疗保健国际交 流促进会皮肤科分会、中国中西医结合学会皮肤性 病专业委员会、中国医学装备协会皮肤病与皮肤美 容分会相关亚专业或学组共同发表本共识。

一、皮肤镜的定义与分类

- 1. 定义:皮肤镜,又称为表皮透光显微镜,是指利用光学放大原理,借助偏振或浸润的方法,反映皮肤表皮、真皮乳头层颜色和结构特点的设备。
- 2. 分类:依据成像原理,皮肤镜可以分为浸润型与偏振光型,前者类似油镜,需要在镜头和皮肤之间滴加油性或其他液体介质。

根据镜头是否接触皮肤,又可将皮肤镜分为接触式与非接触式。浸润型皮肤镜都属于接触式,偏振光型皮肤镜既可以是接触式,也可是非接触式。为了增加非接触式偏振光型皮肤镜的摄影稳定性或避免镜头污染,有的非接触式偏振光型皮肤镜镜头前增加了筒状固定架,甚至在固定架前增加一次性膜片。对于这种改装的皮肤镜,原则上仍以镜头是否接触皮肤作为接触式与非接触式的分类标准。皮肤镜还可分为便携式和工作站式:前者小巧

便于随身携带;后者连带电脑,其中预装大量应用软件。

二、皮肤镜诊断术语的现况立

如果采用不规范或不一致的术语描述同一图 像,有可能导致歧义或误解,不利于诊断和交流。 随着皮肤镜应用不断扩展,诊断术语不断丰富,其 中部分术语已经被公认或是约定俗成,且特定使用 在某些疾病中。针对黑素细胞来源的色素性皮损, 皮肤镜术语可以分为隐喻性(象形性)术语和描述 性术语两类。隐喻性术语常借用形象物比喻,如 "星爆样"模式、"脑回样"区域等。描述性术语一般 由5项基本元素即"线"、"点"、"团块"、"环"和"伪 足"构成,分别根据这5种元素描述整体图像。两种 术语体系各有利弊,短时期内无法融合或彼此替 代。制定本共识目的不是在两类术语中进行选择, 而是分别提供规范化中文术语,方便中国皮肤镜使 用者交流。对于非黑素细胞来源的色素性皮损,尚 未对术语进行隐喻性和描述性严格区分,故本共识 引用国际惯用术语进行翻译和规范。限于篇幅,我 们仅选择已被国际认可的常用术语进行推荐。

三、黑素细胞来源皮损模式征推荐用语及定义 皮肤镜最初主要用于鉴别诊断色素痣与恶性 黑素瘤^[3,4]。利用皮肤镜观察皮损时首先要区分是 否是黑素细胞来源皮损,进而再研判皮损具备哪些 模式征。表1及图1~3列举了主要黑素细胞来源

表1 常见色素相关皮肤镜特征描述用语

| 描述性术语 | 隐喻性术语 | 定义 |
|--|--------------------------------|--------------------------------|
| 网状线 Lines, reticular | 色素网 Pigment network | 互相连接的色素性线条围绕色素较浅的 孔洞,构成网状结构 |
| 网状粗线 Lines, reticular and thick | 粗大网Broadened network | 较粗的网格线 |
| 网状细线 Lines, reticular and thin | 纤细网 Delicate network | 浅棕色纤细的网格线 |
| 粗的或颜色不一的网状线 Lines, reticular and thick or reticular lines that vary in color | 不典型色素网Atypical pigment network | 网状结构的颜色、粗细、网眼大小差异增 大,分布不均匀 |
| 白色网状线 Lines, reticular, white | 白色网White network | 均匀的白色条纹组成网状结构 |

| 続き | ₹ 1 |
|-----|-----|
| シメイ | K 1 |

| 续表1 | | |
|---|---|---|
| 描述性术语 | 隐喻性术语 | 定义 |
| reticular, hypopigmented, around brown clods | 非色素性网(原同义词:反向色素网,色素脱失性网) Negative pigment network (former synonyms: nverse network, reticular depigmentation) | 匐行性色素减退性宽线条互相连接,包 绕拉伸的、无棱角的球状结构 |
| 分支状线 Lines, branched | 树枝状条纹 Branched streaks | 树枝状或增宽的网格出现断的线条或不 完整的连接 |
| 放射状线(总在周边)Lines, radial (always at (periphery) | (辐射状)条纹Streaks | 皮损边缘线条辐射状向外扩张 |
| 与皮损边缘连接的球根状结构 Bulbous, linked of at the lesion edge | 伪足 Pseudopods | 直接与网格结构或肿瘤边缘相连的球根 状或纠缠的结构 |
| 平行弯曲的棕色细线 Lines, brown, curved, a parallel, thin | 指纹征Fingerprinting | 浅棕色细曲线,常由小的细回形结构形成,不形成网状,倾向于形成线状 |
| 穿过皮嵴的平行短线(掌跖皮肤)Lines, 约 parallel, short, crossing ridges (volar skin) | 纤维样模式 Fibrillar pattern | 长度相近的线状纤维状色素性线条,一 端位于皮沟,以相同的角度穿过皮嵴 |
| 皮嵴上的平行粗线(掌跖皮肤)Lines, parallel, thick, on the ridges (volar skin) | 皮嵴平行嵴模式 Parallel ridge pattern | 掌跖区域色素形成线条,平行排列,弥散,不规则,分布在皮嵴/浅嵴处(皮纹中凸起处) |
| 位于皮沟并穿过皮嵴的平行细线(掌跖皮肤) Lines, parallel, thin, in the furrows and crossing the ridges (volar skin) | 网格样模式Latticelike pattern | 掌跖区域色素形成细线条,平行排列在 皮沟处/浅沟处(皮纹中的内陷处),并有 垂直穿过皮嵴的线条 |
| 皮沟中的平行细线(掌跖皮肤)Lines, parallel, thin, in the furrows (volar skin) | 皮沟平行模式(Parallel furrows pattern),包括典型 皮沟平行模式(Typical parallel furrows pattern),皮 沟平行模式双平行线变异型(Parallel furrows pattern double line variation)、皮沟平行模式单虚 线变异型(Parallel furrows pattern single dotted line variation)和皮沟平行模式双虚线变异型 (Parallel furrows pattern double dotted line variation) | 掌跖区域色素形成实线或虚线,纤细,平 行排列在皮沟处(皮纹中的浅沟或内陷 处);有时表现为皮沟两旁的平行双线 |
| 圆形或卵圆形小团块Clods, small, round or oval | 小球Globules | 球状、圆形或椭圆形结构 |
| 周围分布的棕色团块 Clods, brown, circumferential | | 分布在皮损周围的球状结构 |
| 棕色或皮色多边形大团块Clods, brown or skin colored, large and polygonal | 鹅卵石样模式 Cobblestone pattern | 均匀分布于整个皮损的多角形球状结构 |
| 灰点 Dots, gray | 胡椒粉(样)Peppering | 灰蓝色细小点状结构 |
| 灰点和灰环 Dots, gray and circles, gray | 环状颗粒模式 Annular-granular pattern | 环绕毛囊口(包括附属器开口)排列的点 状和无结构区 |
| 中心棕色小点(位于色素网线之间色素减退区的中央) Dots, brown, central (in the center of hypopigmented spaces between reticular lines) | 靶心样点 Targetoid dots | 分布于皮损中部的点状结构 |
| 同心圆 Circles, concentric | 同心園 Circle within a circle | 细线状同心环 |
| 不完整的圆环 Circles, incomplete | 非对称性色素性毛囊开口 Asymmetric pigmented follicular openings | 环绕毛囊开口的不规则或不完整的色素 带或曲线形(月牙形)色素带 |
| 周 围 伪 足 或 周 围 放 射 状 线 Pseudopods, circumferential or lines, radial, circumferential | | 整个皮损周围的球状结构、伪足和(或) 条纹状结构 |
| 棕色或黑色无结构区 Structureless zone, brown or black | 污斑 Blotch | 暗色无结构区域 |
| 蓝色无结构区 Structureless zone, blue | 蓝白幕 Blue-whitish veil | 蓝色形状不规则的污斑,上有白色毛玻璃样混浊感 |
| 粉色无结构区Structureless zone, pink | 乳红色区 Milky-red areas | 乳白色或粉红色无结构区(草莓和冰淇 淋样),出现充血性潮红,但没有特异性 可分辨的血管 |
| 白色无结构区 Structureless zone, white | 瘢痕样色素脱失 Scarlike depigmentation | 较周围正常外观皮肤更白(真正的瘢痕) 的白色区域,需要与单纯的缺少色素导 致的色素减退和色素脱失鉴别;白色无 结构区(退行区)内亮白色结构和血管均 不可见 |
| 任意颜色无结构区 Structureless, any color | 均质模式 Homogenous pattern | 缺乏任何确定的色素性结构的无结构 模式 |
| 棕色无结构区,其间有毛囊口(面部皮肤) Structureless, brown, interrupted by follicular openings (facial skin) | 假网状(结构)Pseudonetwork | 无结构区域中出现非色素性毛囊开口 |
| 锐利的圆齿状边缘 Sharply demarcated, scalloped border | 虫蚀样边缘 Moth-eaten border | 边缘出现凹陷或缺损 |

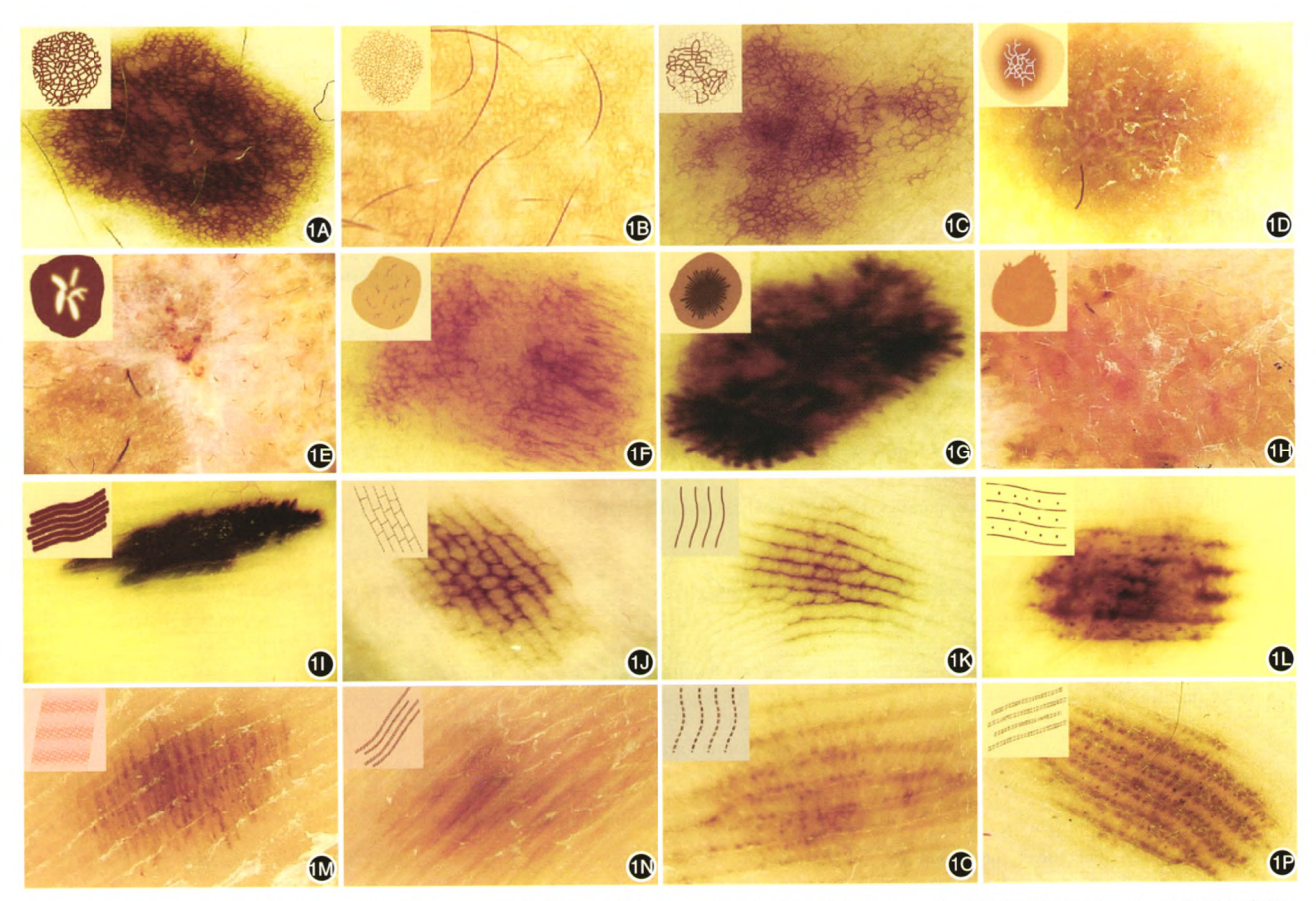
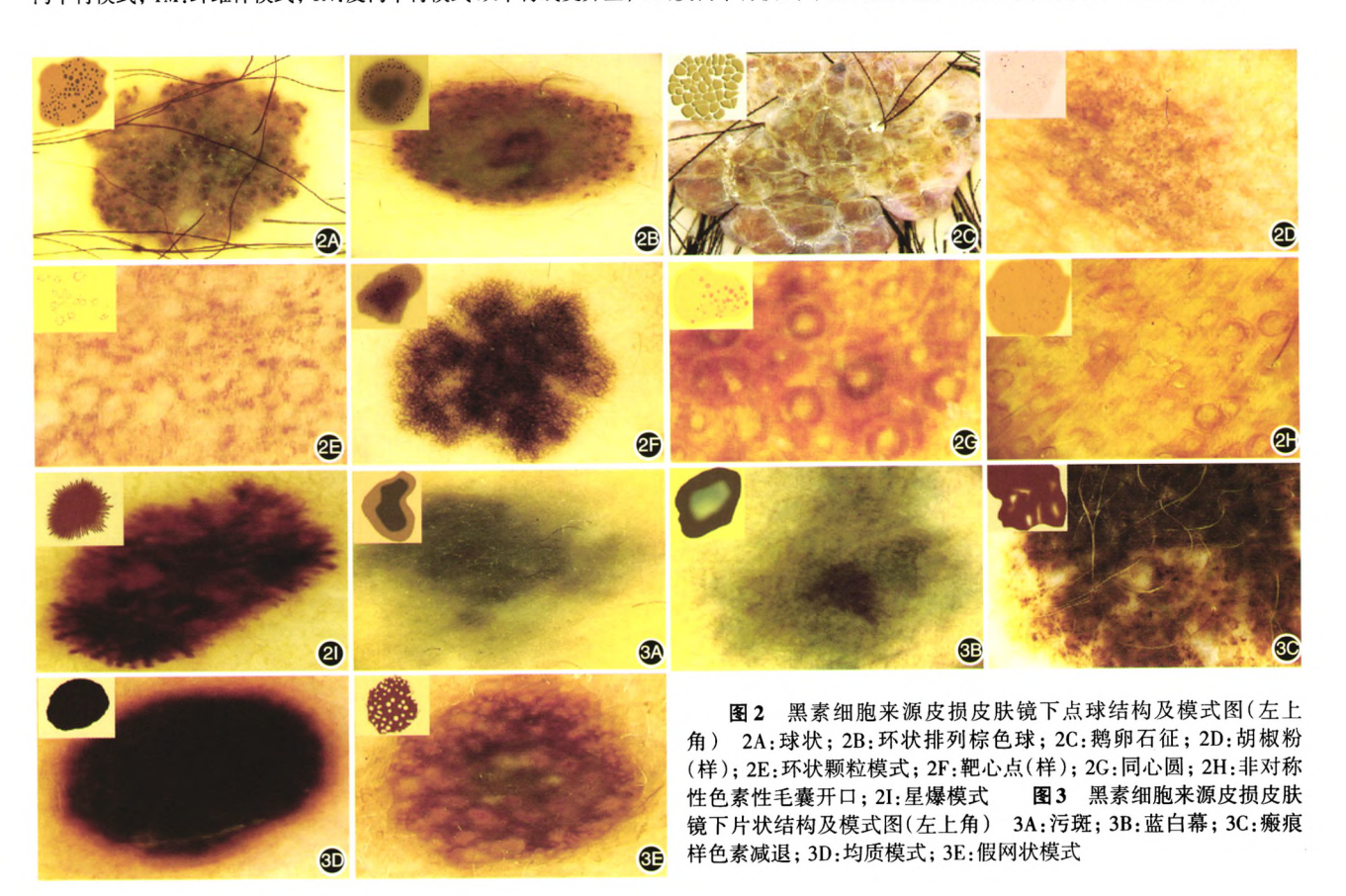


图1 黑素细胞来源皮损皮肤镜下线条结构及模式图(左上角) IA:典型色素网粗大网; IB:典型色素网纤细网; IC:不典型色素网; ID:白色网; IE:非色素性网; IF:树枝状条纹; IG:(辐射状)条纹; IH:伪足; II:皮嵴平行模式; IJ:网格模式; IK:皮沟平行模式; IL:典型皮沟平行模式; IM:纤维样模式; IN:皮沟平行模式 双平行线变异型; IO:皮沟平行模式 单虚线变异型; IP:皮沟平行模式 双虚线变异型



皮损可能具备的模式征及其规范表述,术语主要参考文献[5]。

四、非黑素细胞来源皮损模式征推荐用语及定义

皮肤镜在鉴别诊断以基底细胞癌和脂溢性角 化病为代表的一系列非黑素细胞来源肿瘤方面也 已日渐成熟,诊断具有相当高的特异度和敏感 度^[6-7]。图4、5及表2列举了常见非黑素细胞来源肿 瘤的皮肤镜模式征。

五、皮肤镜下血管征推荐用语及定义

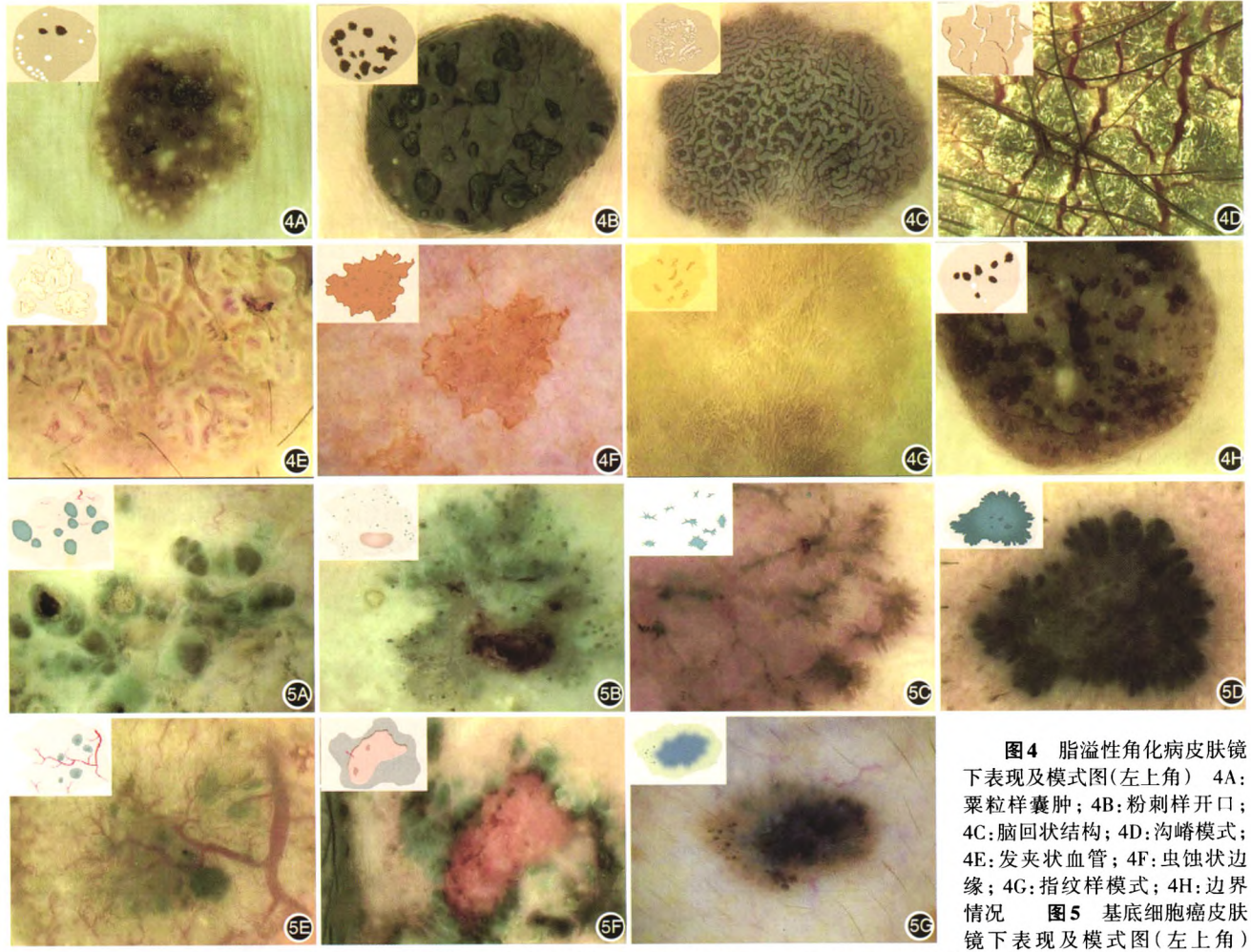
无论是炎症性还是肿瘤性皮肤病,常具有显著的血管征象^[8]。皮肤镜下这些血管征具有重要辅助诊断价值,常见皮肤镜血管征列举见表3及图6中。

六、皮肤镜硬件参数

1. 便携式皮肤镜参数:目标靶面直径 \geq 15 mm,有效拍摄靶面直径 \geq 10 mm^[9],视场中心分辨率 \geq 1 200 × NA线对/mm^[10-11],放大倍数 \geq 10^[10,12],且倍率误差 \leq ± 10%^[11]。对于偏振光型皮肤镜,有效偏振度应介于 0~90之间^[12-13]。部分便携式皮肤镜支

持数码相机、手机连接,故必须明示适于哪种型号相机、手机连接目提供相应连接设备。

皮肤镜应用已经形成完整的诊断体系,诸如模式分析法、ABCD法等,其中统一规范的模式征描述是正确诊断的基础。迄今国际组织也在不断丰富和规范模式征描述,统一是未来的发展方向。皮肤



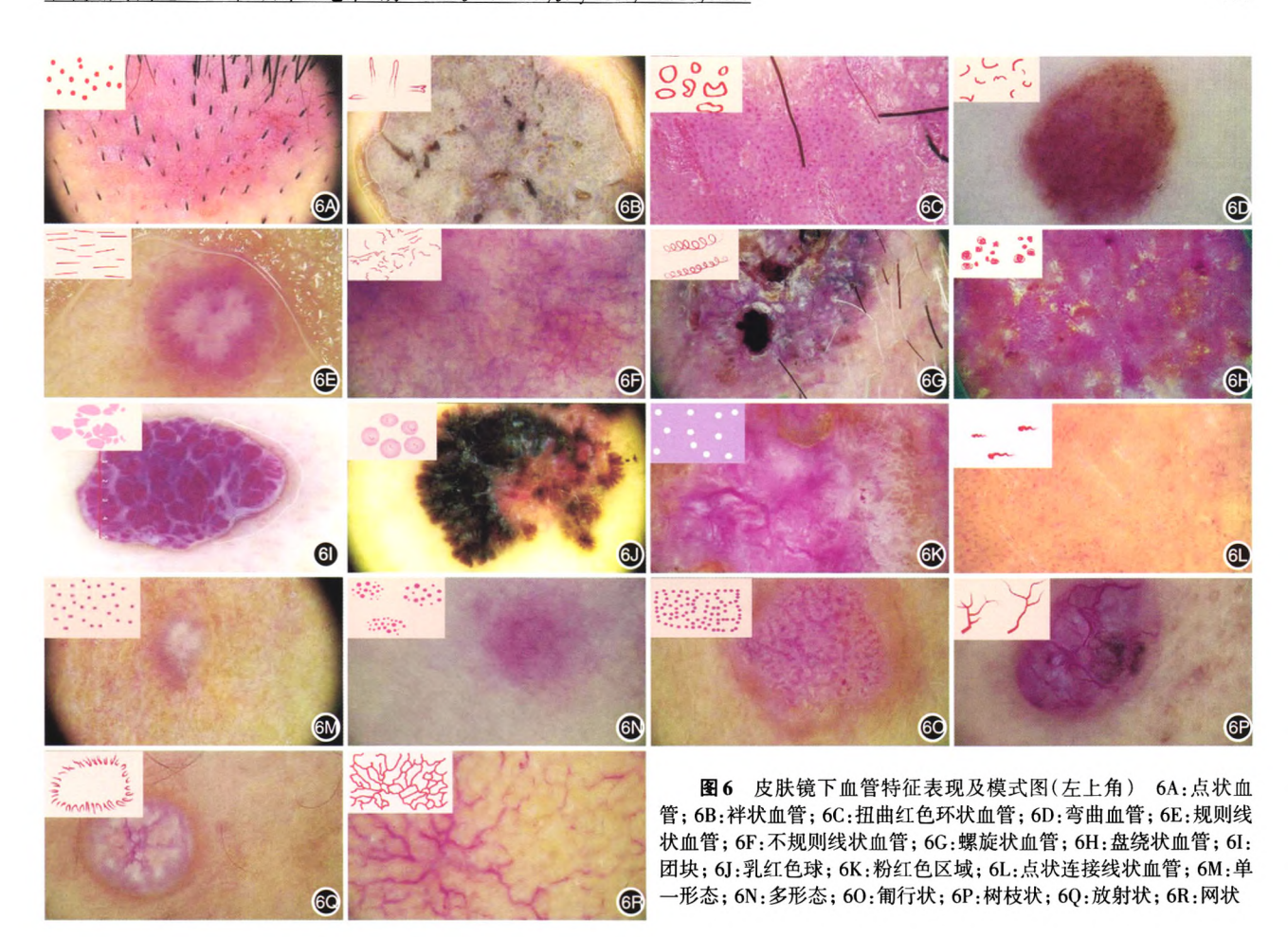
5A:蓝灰色卵圆巢;5B:灰蓝色小球;5C:轮辐状结构;5D:叶状结构;5E:树枝状血管;5F:溃疡;5C:蓝灰色结构

表 2 脂溢性角化病和基底细胞癌常见皮肤镜特征推荐用语

| 推荐术语 | 其他常见表述(非规范用语) | 定义 |
|-----------------------------------|---|---------------------------------------|
| 脂溢性角化病 | | |
| 粟粒样囊肿 Milia-like cysts | | 大小不一、圆形乳白色或黄色结构 |
| 粉刺样开口 Comedolike openings | 角栓Keratotic plug、毛囊角栓 Follicular plug、隐窝 Crypt | 黑色或褐色粉刺样角栓,呈圆形或卵圆形凹坑状 |
| 脑回状模式 Cerebriform pattern | 大脑样模式Brain pattern | 多条裂隙与皮嵴组成类似于脑回和脑沟样结构 |
| 沟嵴模式 Fissures and ridge | | 皮损表面形成的嵴和沟 |
| 发夹状血管 Hairpin blood vessels | | 由2条平行线状血管形成的半环状或发夹样结构,类似于U 字形 |
| 虫蚀状边缘 Moth-eaten border | | 皮损边缘向内弯曲不齐的凹陷,或边界清晰的圆齿状,类似蛀 虫啃噬状结构 |
| 指纹样结构 Fingerprint-like structures | | 细小浅褐或淡棕色平行分布的嵴样结构,类似人指纹样结构 |
| 边界情况 Boundary conditions | | 泛指皮损边界清晰度 |
| 基底细胞癌 | | |
| 蓝灰色卵圆巢 Blue-gray ovoid nests | | 界限清晰的蓝灰色圆形、椭圆形或不规则结构 |
| 蓝灰色小球 Blue-gray globules | | 圆形或椭圆形界限清晰的蓝灰色直径 > 0.1 mm 的小球状结构,常多发 |
| 轮辐状结构Spoke-wheel-like structures | | 棕色至灰蓝棕色由皮损边缘向皮损中心汇集的多个清晰的放 射状结构、 |
| 叶状结构 Leaf-like structures | 叶状区域 Leaf-like areas | 褐色至蓝灰色不连续的连接模式,常类似枫叶状 |
| 树枝状血管 Arborizing blood vessels | 分支状毛线血管扩张 Arborizing telangiectasia | 由粗至细的毛细血管分枝相互连接形成鲜红色类似树枝状血 管网 |
| 溃疡 Ulcer | | 无创伤史,常在皮损中央表皮和真皮出现的缺损,有时可覆盖 凝血类物质 |
| 蓝灰色色素沉着 Blue-grey pigmentation | | 圆形、椭圆形或不规则形棕灰色至蓝灰色无结构区 |

表3 常见血管相关的皮肤镜特征推荐用语

| 推荐术语 | 其他常见表述 | 定义 |
|-------------------------------------|-------------------------------|--|
| 血管形态 | | |
| 点状血管 Dots vessels | | 微小的针尖样血管 |
| 袢状血管 Looped vessels | 发夹样血管 Hairpin vessels | 2个平行的线状血管形成半环状或发夹样结构 |
| 扭曲的红色环状血管Twisted red looped vessels | | 扭曲的血管形成闭合或不闭合的环状结构 |
| 弯曲血管 Curved vessels | 逗号状血管Comma vessels | 弯曲的短线状血管 |
| 规则线状血管 Linear-regular vessels | | 主要为细短的线状血管 |
| 不规则线状血管 Linear irregular vessels | 蛇形血管 Serpentine vessels | 大小、形状、曲度不规则,轻微弯曲的线状血管,或多处弯曲的不规则线状血管 |
| 螺旋状血管 Helical vessels | 开塞钻状血管 Corkscrew | 沿中轴多处弯曲的扭曲环状血管 |
| 盘绕状血管 Coiled vessels | 肾小球状血管Glomerular vessels | 肾小球样紧密盘绕的血管 |
| 团块 Clods | 紫红腔隙 Red-purple lacunae | 红色、红蓝色、栗色或暗红至黑色边界清楚或不清楚的 圆形或卵圆形区、由中间基质分隔。腔隙内无血管 |
| 乳红色球 Milky red globules | | 模糊的乳红色小球结构或团块 |
| 粉红色区域 Pinkish area | | 弥漫的粉红色区域 |
| 点状连接线状血管 Dots and linear vessels | 精子样血管Spermatozoa-like vessels | 点状血管连接较短的弯曲的线状血管 |
| 单一形态 Monomorphous | | 一种血管形态为主 |
| 多形态 Polymorphous | | 呈现出多种血管形态 |
| 血管排列 | | |
| 匐行状Serpiginous | 串珠样String of pearls | 线状排列的盘绕状或点状血管 |
| 树枝状Branched | 分支状 Arborizing | 较大或较粗的清晰的亮红色血管分成较小的血管 |
| 放射状Radial | 皇冠状Crown | 位于皮损周围的放射状、蛇形、树枝状血管,向中心放射但不超过皮损中线 |
| 网状Reticular | 多角形 Polygonal | 线状-扁平血管相互交错,形成网状模式 |
| 不规则/非均质 Irregular(Non-homogenous) | | 相似或者不同的血管组成,在皮损内分布无规律 |



镜功能也会越来越丰富,但是基本参数不能忽略, 这是图像采集和分析诊断的保障。

参与共识编写人员 冉梦龙、李航(北京大学第一医院),刘海军、李艺鹏、杨世飞、胡博、孟如松(解放军空军总医院皮肤病医院),朱晨雨、罗毅鑫、刘洁(中国医学科学院北京协和医院),邹先彪(解放军总医院第一附属医院),徐峰(复旦大学附属华山医院),崔勇(中日友好医院)

执笔者 冉梦龙 孟如松 刘洁

参考文献

- [1] 涂平, 李航. 皮肤镜临床应用[M]. 2版. 北京: 人民军医出版 社. 2012.
- [2] 刘洁, 李航, 孟如松, 等. 《皮肤病术语规范:第三次国际皮肤镜协会会议共识》解读[J]. 中华皮肤科杂志, 2017, 50(4): 299-304. DOI: 10.3760/cma.j.issn.0412-4030.2017.04.017
- [3] Soyer HP, Argenziano G, Chimenti S, et al. Dermoscopy of pigmented skin lesions [J]. Eur J Dermatol, 2001, 11 (3): 270-276; quiz 277.
- [4] Soyer HP, Argenziano G, Ruocco V, et al. Dermoscopy of pigmented skin lesions (Part II) [J]. Eur J Dermatol, 2001, 11(5): 483-498.
- [5] Kittler H, Marghoob AA, Argenziano G, et al. Standardization of terminology in dermoscopy/dermatoscopy: results of the thirdconsensus conference of the International Society of Dermoscopy [J]. J Am Acad Dermatol, 2016, 74(6): 1093-1106. DOI: 10.1016/j.

jaad.2015.12.038.

- [6] Altamura D, Menzies SW, Argenziano G, et al. Dermatoscopy of basal cell carcinoma: morphologic variability of global and local features and accuracy of diagnosis [J]. J Am Acad Dermatol, 2010, 62(1): 67-75. DOI: 10.1016/j.jaad.2009.05.035.
- [7] Braun RP, Rabinovitz HS, Krischer J, et al. Dermoscopy of pigmented seborrheic keratosis: a morphological study [J]. Arch Dermatol, 2002, 138(12): 1556-1560.
- [8] Zalaudek I, Kreusch J, Giacomel J, et al. How to diagnose nonpigmented skin tumors: a review of vascular structures seen with dermoscopy: part I. Melanocytic skin tumors [J]. J Am Acad Dermatol, 2010, 63 (3): 361-374. DOI: 10.1016/j.jaad.2009.11. 698
- [9] Habif TP. Clinical Dermatology (临床皮肤病学)[M]. 何春涤, 译. 北京: 北京大学医学出版社, 2008.
- [10] 中国国家标准化管理委员会. GB/T22059-2008 显微镜 放大率[S]. 北京: 中国标准出版社, 2008.
- [11] 中国国家标准化管理委员会. GB/T19864.1-2005 普及型体视显微镜[S]. 北京: 中国标准出版社, 2005.
- [12] 孙秋宁, 刘洁. 协和皮肤镜图谱[M]. 北京: 人民卫生出版社, 2015.
- [13] 中国国家标准化管理委员会. GB/T24665-2009 偏光显微镜 [S]. 北京: 中国标准出版社, 2009.
- [14] 中华人民共和国工业和信息化部. JB/T10362-2010 数码照相 机[S]. 北京: 机械工业出版社, 2010.

(收稿日期:2017-05-19) (本文编辑:尚淑贤)